

Teoría de cuerdas en búsqueda del MSSM

Saúl Ramos-Sánchez

IFUNAM

Fac. de Ciencias Físico Matemáticas, BUAP
Junio 8, 2011

En colaboración con

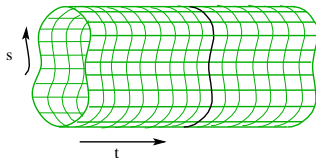
H.P. Nilles, S. Raby, M. Ratz, P. Vaudrevange: (2006-2008)
O. Lebedev: arxiv:0912.0477
S. Parameswaran, I. Zavala: arxiv:1009.3931

Cuerdas

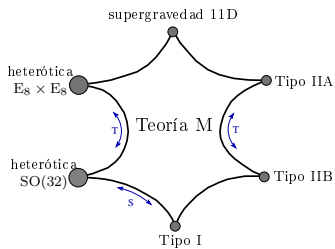


Cuerdas

1970's: partículas → cuerdas



80-90's: 5 teorías de supercuerdas (+branas)



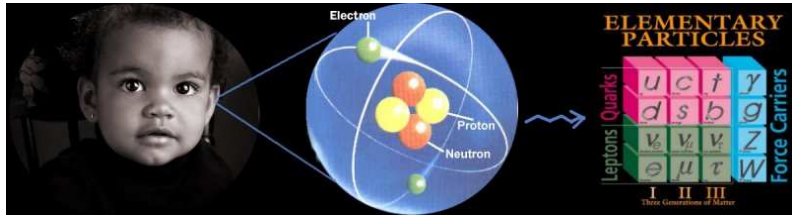
consistencia cuántica

(no anomalías, "fantasmas", taquiones).

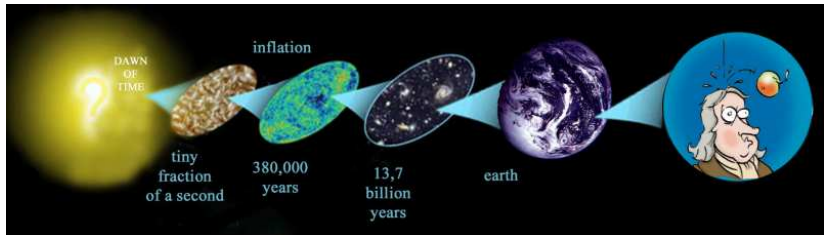
→

- * gravitón incluido
- * bosones de norma
- * supersimetría
- * 10 dimensiones

Phenomenología. A dónde vamos ?



$$SM = QCD (SU(3)) + EW (SU(2) \times U(1)_Y)$$



Relatividad general (RG): Cosmología ☺

Por qué teoría de cuerdas ?

- 😊 predice SUSY ✓
- 😊 incluye gravedad → unificación ✓
- 😊 es una teoría cuántica → gravedad cuántica ✓
- 😊 incluye grupos de norma naturalmente ✓
- 😊 puede reproducir el espectro *exacto* del MSSM ✓
- 😊 describe mecanismos de SUSY → EW ✓
- 😊 tiene muchas simetrías internas → sabor, estabilidad,... ✓

Por qué teoría de cuerdas ?

- 😊 predice SUSY ✓
- 😊 incluye gravedad → unificación ✓
- 😊 es una teoría cuántica → gravedad cuántica ✓
- 😊 incluye grupos de norma naturalmente ✓
- 😊 puede reproducir el espectro *exacto* del MSSM ✓
- 😊 describe mecanismos de SUSY → EW ✓
- 😊 tiene muchas simetrías internas → sabor, estabilidad,... ✓

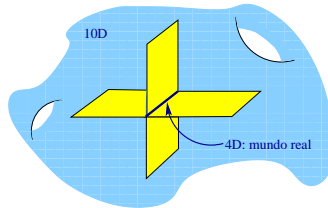
- 😢 predice $D = 10$
- 😢 tiene simetrías de norma muy grandes (e.g. SO(32))
- 😢 genera QFTs con muchos parámetros libres
- 😢 ha sido cuantizada sólo en fondos particulares
- 😢 ningún resultado verificable!

10 D ?

⌚ $D = 10 \xrightarrow{\text{cómo?}} D = 4$

⌚ $D = 10 \xrightarrow{\text{cómo?}} D = 4$

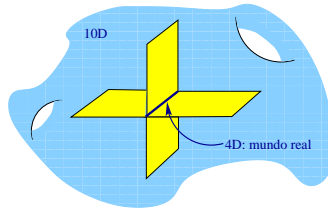
- mundos brana:



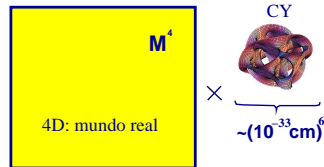
10 D ?

⌚ $D = 10 \xrightarrow{\text{cómo?}} D = 4$

- mundos brana:



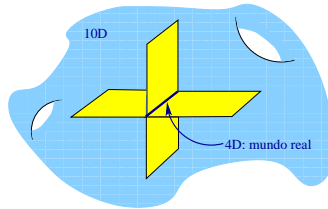
- compactificaciones: CY u orbifolds



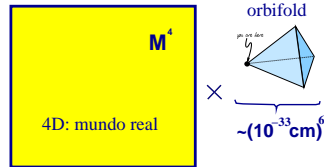
10 D ?

⌚ $D = 10 \xrightarrow{\text{cómo?}} D = 4$

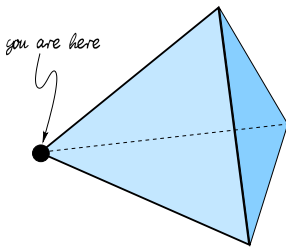
- mundos brana:



- compactificaciones: CY u orbifolds



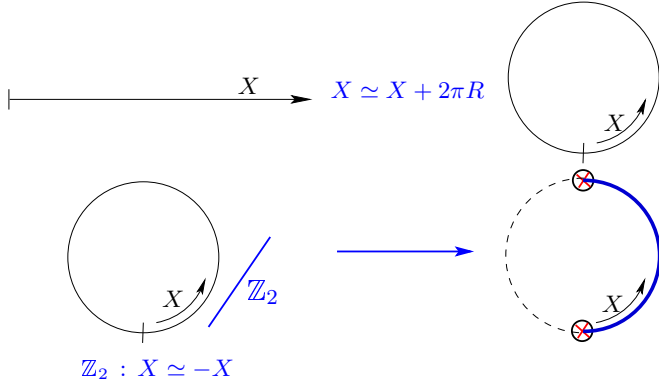
Orbifolds



- Dixon, Harvey, Vafa, Witten (1985-86)
Ibáñez, Nilles, Quevedo (1987)
Casas, de la Macorra, Mondragón, Muñoz (1989-1990)
Katsuki, Kawamura, Kobayashi, Ohtsubo, Ono, Tanioka (1990)
Erler, Klemm (1993)
Förste, Nilles, Vaudrevange, Wingerter (2004)
Buchmüller, Hamaguchi, Lebedev, Ratz (2004-06)
Kobayashi, Nilles, Plöger, Raby, Ratz (2006)
Faraggi, Förste, Timirgaziu (2006)
Förste, Kobayashi, Ohki, Takahashi (2006)
Kim, Kyae (2006-07)
Choi, Kim (2006-08)
...

Compactificaciones en Orbifolds

Orbifold de 1D con simetría \mathbb{Z}_2 en 5D



Espacio singular muy pequeño $R \ll 1\text{mm} \rightarrow$ no lo vemos!!

Kaluza, Klein (1920s)

La cuerda heterótica

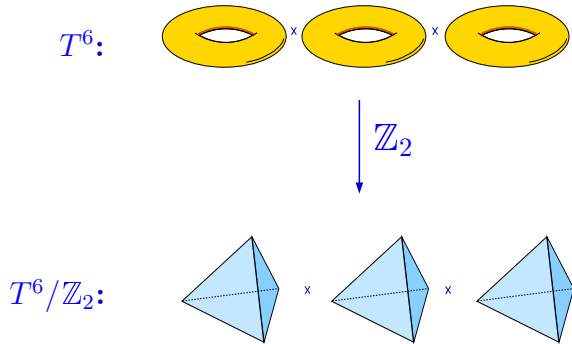
- 10 D
- SUSY (_{de hecho, SUGRA}) $\mathcal{N} = 1 \rightarrow$ quiralidad ✓
- bosones de norma

$E_8 \times E_8 \supset E_6, SO(10), SU(5), SU(4) \times SU(2)_L \times SU(2)_R, \mathcal{G}_{SM}$ ✓

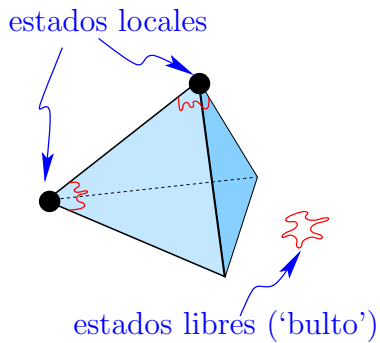
- sólo cuerdas cerradas (no D-branas)
→ interacciones calculables exactamente ✓
- dualidades con
heterótica $SO(32)$, tipo IIB, teoría F,...

Orbifolds heteróticos

Orbifold de 6D con simetría \mathbb{Z}_2 en 10D

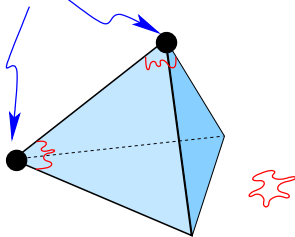


Orbifolds heteróticos: cuerdas y estados



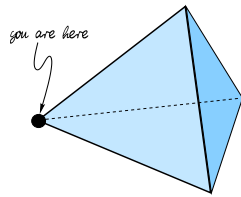
Orbifolds heteróticos: cuerdas y estados

grupo de norma local



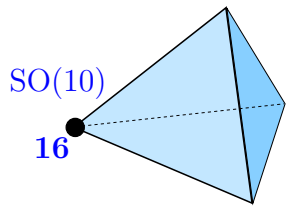
$$\mathcal{G}_{4D} = \cap \text{ grupos de norma locales}$$

Orbifolds heteróticos: cuerdas y estados



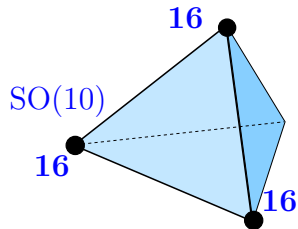
$\rightarrow W, K, \mathcal{L}, \Lambda, \dots$

Orbifolds heteróticos: “carta a los reyes”



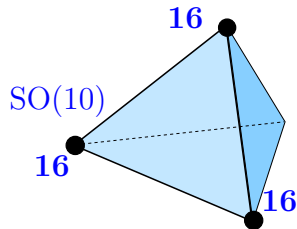
$16 \rightarrow$ familia completa de quarks y leptones

Orbifolds heteróticos: “carta a los reyes”



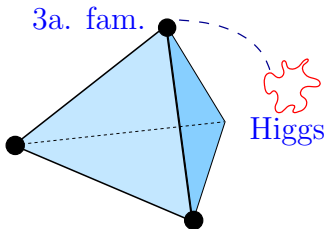
→ primer reto: 3 familias de quarks y leptones

Orbifolds heteróticos: “carta a los reyes”



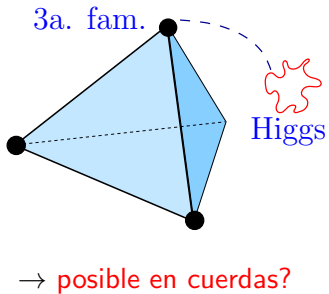
- primer reto: 3 familias de quarks y leptones
- segundo reto: $\mathcal{G}_{4D} = \mathcal{G}_{SM}$

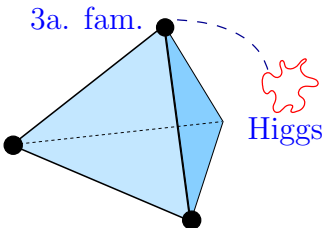
Orbifolds heteróticos: “carta a los reyes”



- primer reto: 3 familias de quarks y leptones
- segundo reto: $\mathcal{G}_{4D} = \mathcal{G}_{SM}$
- tercer reto: quark top pesado

Orbifolds heteróticos: “carta a los reyes”





- Construir **todos** los orbifolds \mathbb{Z}_6 -II aceptables (no anomalías)
- Elegir los que tengan grupos locales $SO(10)$
- Elegir los que tengan spinores **16** locales
- Elegir los que tengan \mathcal{G}_{SM} in 4D
- Elegir los que tengan 3 familias
- Elegir los que tengan dobletes de Higgs
- Elegir los que tengan top pesado
- Elegir los que no tengan materia exótica

Minilandscape

The c++ orbifolder - Mozilla Firefox

File Edit View Go Bookmarks Tools Help

http://www.th.physik.uni-bonn.de/nilles/orbifolds/ Go

The c++ orbifolder

orbifolder on-line

download program

download source code

help / about

The C++ Orbifolder
version: beta (release)
platform: linux
license: freeware
by: Hans Peter Nilles,
Saúl Ramos-Sánchez,
Patrick K.S. Vaudrevange &
Akin Wingerter

javascript://

Minilandscape: resultados

😊 10^7 orbifolds \mathbb{Z}_6 -II aceptables → “parches fértiles”

- ~ 300 “MSSM”
- sin partículas exóticas
- unificación $\mathcal{G}_{SM} \subset SO(10)$
- top pesado
- $m_{3/2} \sim \text{TeV}$
- seesaw
- “texturas” no triviales
- paridad R
- doublet-triplet splitting
- axion QCD

😊 10^7 orbifolds \mathbb{Z}_6 -II aceptables → “parches fértiles”

- ~ 300 “MSSM”
 - sin partículas exóticas
 - unificación $\mathcal{G}_{SM} \subset SO(10)$
 - top pesado
 - $m_{3/2} \sim \text{TeV}$
 - seesaw
 - “texturas” no triviales
 - paridad R
 - doublet-triplet splitting
 - axion QCD
- } requerido

Minilandscape: resultados

😊 10^7 orbifolds \mathbb{Z}_6 -II aceptables → “parches fértiles”

- ~ 300 “MSSM”
 - sin partículas exóticas
 - unificación $\mathcal{G}_{SM} \subset SO(10)$
 - top pesado
 - $m_{3/2} \sim \text{TeV}$
 - seesaw
 - “texturas” no triviales
 - paridad R
 - doublet-triplet splitting
 - axion QCD
-
- The diagram consists of two curly braces on the right side of the list. The upper brace groups the first five items and is labeled "requerido" in blue. The lower brace groups the remaining five items and is labeled "gratis !! 😊" in blue.

Ejemplo

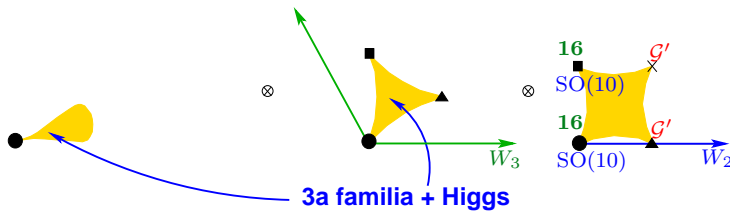
Minilandscape: un Ejemplo

Input:

- Shift $V^{\text{SO}(10),1}$
- líneas de Wilson W_2, W_3
 $W_2 = \left(\frac{1}{4}, -\frac{1}{4}, -\frac{1}{4}, -\frac{1}{4}, -\frac{1}{4}, \frac{1}{4}, \frac{1}{4}, \frac{1}{4}\right) \left(1, -1, -\frac{5}{2}, -\frac{3}{2}, -\frac{1}{2}, -\frac{5}{2}, -\frac{3}{2}, \frac{3}{2}\right)$
 $W_3 = \left(-\frac{1}{2}, -\frac{1}{2}, \frac{1}{6}, \frac{1}{6}, \frac{1}{6}, \frac{1}{6}, \frac{1}{6}, \frac{1}{6}\right) \left(\frac{10}{3}, 0, -6, -\frac{7}{3}, -\frac{4}{3}, -5, -3, 3\right)$
- “reglas de selección” para los acoplamientos

Output:

- $\mathcal{G}_{4D} = \mathcal{G}_{SM} \times U(1)_{B-L} \times [\text{SO}(8) \times \text{SU}(2) \times U(1)^6]$



Minilandscape: un Ejemplo

3 familias (número neto)					
3	$(\mathbf{3}, \mathbf{2}; \mathbf{1}, \mathbf{1})_{(1/6, 1/3)}$	q_i			
3	$(\bar{\mathbf{3}}, \mathbf{1}; \mathbf{1}, \mathbf{1})_{(-2/3, -1/3)}$	\bar{u}_i			
3	$(\mathbf{1}, \mathbf{1}; \mathbf{1}, \mathbf{1})_{(1, 1)}$	\bar{e}_i			
3+1	$(\bar{\mathbf{3}}, \mathbf{1}; \mathbf{1}, \mathbf{1})_{(1/3, -1/3)}$	\bar{d}_i	1	$(\mathbf{3}, \mathbf{1}; \mathbf{1}, \mathbf{1})_{(-1/3, 1/3)}$	d_i
3+1	$(\mathbf{1}, \mathbf{2}; \mathbf{1}, \mathbf{1})_{(-1/2, -1)}$	ℓ_i	1	$(\mathbf{1}, \mathbf{2}; \mathbf{1}, \mathbf{1})_{(1/2, 1)}$	$\bar{\ell}_i$
Higgses					
1	$(\mathbf{1}, \mathbf{2}; \mathbf{1}, \mathbf{1})_{(-1/2, 0)}$	h_d	1	$(\mathbf{1}, \mathbf{2}; \mathbf{1}, \mathbf{1})_{(1/2, 0)}$	h_u
Singuletes del SM					
2	$(\mathbf{1}, \mathbf{1}; \mathbf{1}, \mathbf{1})_{(0, \pm 2)}$	χ_i	18	$(\mathbf{1}, \mathbf{1}; \mathbf{1}, \mathbf{1})_{(0, 0)}$	s_i^0
20	$(\mathbf{1}, \mathbf{1}; \mathbf{1}, \mathbf{2})_{(0, 0)}$	h_i	5	$(\mathbf{1}, \mathbf{1}; \mathbf{8}, \mathbf{1})_{(0, 0)}$	w_i
15	$(\mathbf{1}, \mathbf{1}; \mathbf{1}, \mathbf{1})_{(0, 1)}$	\bar{n}_i	12	$(\mathbf{1}, \mathbf{1}; \mathbf{1}, \mathbf{1})_{(0, -1)}$	n_i
3	$(\mathbf{1}, \mathbf{1}; \mathbf{1}, \mathbf{2})_{(0, 1)}$	$\bar{\eta}_i$	3	$(\mathbf{1}, \mathbf{1}; \mathbf{1}, \mathbf{2})_{(0, -1)}$	η_i
Exóticos					
2	$(\mathbf{1}, \mathbf{2}; \mathbf{1}, \mathbf{2})_{(0, 0)}$	y_i	4	$(\mathbf{1}, \mathbf{2}; \mathbf{1}, \mathbf{1})_{(0, *)}$	m_i
2	$(\mathbf{1}, \mathbf{1}; \mathbf{1}, \mathbf{2})_{(1/2, 1)}$	x_i^+	2	$(\mathbf{1}, \mathbf{1}; \mathbf{1}, \mathbf{2})_{(-1/2, -1)}$	x_i^-
3	$(\bar{\mathbf{3}}, \mathbf{1}; \mathbf{1}, \mathbf{1})_{(1/3, 2/3)}$	$\bar{\delta}_i$	3	$(\mathbf{3}, \mathbf{1}; \mathbf{1}, \mathbf{1})_{(-1/3, -2/3)}$	δ_i
4	$(\bar{\mathbf{3}}, \mathbf{1}; \mathbf{1}, \mathbf{1})_{(-1/6, *)}$	\bar{v}_i	4	$(\mathbf{3}, \mathbf{1}; \mathbf{1}, \mathbf{1})_{(1/6, *)}$	v_i
20	$(\mathbf{1}, \mathbf{1}; \mathbf{1}, \mathbf{1})_{(1/2, *)}$	s_i^+	20	$(\mathbf{1}, \mathbf{1}; \mathbf{1}, \mathbf{1})_{(-1/2, *)}$	s_i^-
2	$(\mathbf{1}, \mathbf{1}; \mathbf{8}, \mathbf{1})_{(0, -1/2)}$	f_i	2	$(\mathbf{1}, \mathbf{1}; \mathbf{8}, \mathbf{1})_{(0, 1/2)}$	\bar{f}_i

Lebedev, Nilles, Raby, S.R-S., Ratz, Vaudrevange, Wingerter (2007)

Minilandscape: un Ejemplo

3 familias (número neto)			
3	$(\mathbf{3}, \mathbf{2}; \mathbf{1}, \mathbf{1})_{(1/6, 1/3)}$	q_i	
3	$(\bar{\mathbf{3}}, \mathbf{1}; \mathbf{1}, \mathbf{1})_{(-2/3, -1/3)}$	\bar{u}_i	
3	$(\mathbf{1}, \mathbf{1}; \mathbf{1}, \mathbf{1})_{(1, 1)}$	\bar{e}_i	
3+1	$(\bar{\mathbf{3}}, \mathbf{1}; \mathbf{1}, \mathbf{1})_{(1/3, -1/3)}$	\bar{d}_i	1 $(\mathbf{3}, \mathbf{1}; \mathbf{1}, \mathbf{1})_{(-1/3, 1/3)}$ d_i
3+1	$(\mathbf{1}, \mathbf{2}; \mathbf{1}, \mathbf{1})_{(-1/2, -1)}$	ℓ_i	1 $(\mathbf{1}, \mathbf{2}; \mathbf{1}, \mathbf{1})_{(1/2, 1)}$ $\bar{\ell}_i$
Higgses			
1	$(\mathbf{1}, \mathbf{2}; \mathbf{1}, \mathbf{1})_{(-1/2, 0)}$	h_d	1 $(\mathbf{1}, \mathbf{2}; \mathbf{1}, \mathbf{1})_{(1/2, 0)}$ h_u
Singuletes del SM			
2	$(\mathbf{1}, \mathbf{1}; \mathbf{1}, \mathbf{1})_{(0, \pm 2)}$	χ_i	18 $(\mathbf{1}, \mathbf{1}; \mathbf{1}, \mathbf{1})_{(0, 0)}$ s_i^0
20	$(\mathbf{1}, \mathbf{1}; \mathbf{1}, \mathbf{2})_{(0, 0)}$	h_i	5 $(\mathbf{1}, \mathbf{1}; \mathbf{8}, \mathbf{1})_{(0, 0)}$ w_i
15	$(\mathbf{1}, \mathbf{1}; \mathbf{1}, \mathbf{1})_{(0, 1)}$	\bar{n}_i	12 $(\mathbf{1}, \mathbf{1}; \mathbf{1}, \mathbf{1})_{(0, -1)}$ n_i
3	$(\mathbf{1}, \mathbf{1}; \mathbf{1}, \mathbf{2})_{(0, 1)}$	$\bar{\eta}_i$	3 $(\mathbf{1}, \mathbf{1}; \mathbf{1}, \mathbf{2})_{(0, -1)}$ η_i
Exóticos			
2	$(\mathbf{1}, \mathbf{2}; \mathbf{1}, \mathbf{2})_{(0, 0)}$	y_i	4 $(\mathbf{1}, \mathbf{2}; \mathbf{1}, \mathbf{1})_{(0, *)}$ m_i
2	$(\mathbf{1}, \mathbf{1}; \mathbf{1}, \mathbf{2})_{(1/2, 1)}$	x_i^+	2 $(\mathbf{1}, \mathbf{1}; \mathbf{1}, \mathbf{2})_{(-1/2, -1)}$ x_i^-
3	$(\bar{\mathbf{3}}, \mathbf{1}; \mathbf{1}, \mathbf{1})_{(1/3, 2/3)}$	$\bar{\delta}_i$	3 $(\mathbf{3}, \mathbf{1}; \mathbf{1}, \mathbf{1})_{(-1/3, -2/3)}$ δ_i
4	$(\bar{\mathbf{3}}, \mathbf{1}; \mathbf{1}, \mathbf{1})_{(-1/6, *)}$	\bar{v}_i	4 $(\mathbf{3}, \mathbf{1}; \mathbf{1}, \mathbf{1})_{(1/6, *)}$ v_i
20	$(\mathbf{1}, \mathbf{1}; \mathbf{1}, \mathbf{1})_{(1/2, *)}$	s_i^+	1 $(\mathbf{1}, \mathbf{1}; \mathbf{1}, \mathbf{1})_{(-1/2, *)}$ s_i^-
2	$(\mathbf{1}, \mathbf{1}; \mathbf{8}, \mathbf{1})_{(0, -1/2)}$	f_i	2 $(\mathbf{1}, \mathbf{1}; \mathbf{8}, \mathbf{1})_{(0, 1/2)}$ \bar{f}_i

Lebedev, Nilles, Raby, S.R-S., Ratz, Vaudrevange, Wingerter (2007)

Minilandscape: un Ejemplo

3 familias (número neto)					
3	$(\mathbf{3}, \mathbf{2}; \mathbf{1}, \mathbf{1})_{(1/6, 1/3)}$	q_i			
3	$(\bar{\mathbf{3}}, \mathbf{1}; \mathbf{1}, \mathbf{1})_{(-2/3, -1/3)}$	\bar{u}_i			
3	$(\mathbf{1}, \mathbf{1}; \mathbf{1}, \mathbf{1})_{(1, 1)}$	\bar{e}_i			
3+1	$(\bar{\mathbf{3}}, \mathbf{1}; \mathbf{1}, \mathbf{1})_{(1/3, -1/3)}$	\bar{d}_i	1	$(\mathbf{3}, \mathbf{1}; \mathbf{1}, \mathbf{1})_{(-1/3, 1/3)}$	d_i
3+1	$(\mathbf{1}, \mathbf{2}; \mathbf{1}, \mathbf{1})_{(-1/2, -1)}$	ℓ_i	1	$(\mathbf{1}, \mathbf{2}; \mathbf{1}, \mathbf{1})_{(1/2, 1)}$	$\bar{\ell}_i$
Higgses					
1	$(\mathbf{1}, \mathbf{2}; \mathbf{1}, \mathbf{1})_{(-1/2, 0)}$	h_d	1	$(\mathbf{1}, \mathbf{2}; \mathbf{1}, \mathbf{1})_{(1/2, 0)}$	h_u
Singuletes del SM					
2	$(\mathbf{1}, \mathbf{1}; \mathbf{1}, \mathbf{1})_{(0, \pm 2)}$	χ_i	18	$(\mathbf{1}, \mathbf{1}; \mathbf{1}, \mathbf{1})_{(0, 0)}$	s_i^0
20	$(\mathbf{1}, \mathbf{1}; \mathbf{1}, \mathbf{2})_{(0, 0)}$	h_i	5	$(\mathbf{1}, \mathbf{1}; \mathbf{8}, \mathbf{1})_{(0, 0)}$	w_i
15	$(\mathbf{1}, \mathbf{1}; \mathbf{1}, \mathbf{1})_{(0, 1)}$			$(\mathbf{1}, \mathbf{1}; \mathbf{1}, \mathbf{1})_{(0, -1)}$	n_i
3	$(\mathbf{1}, \mathbf{1}; \mathbf{1}, \mathbf{2})$				η_i
$\langle \chi \rangle, \langle h \rangle, \langle s \rangle \sim \mathcal{O}(M_{Pl}) + \text{inter. de cuerdas}$					
2	$(\mathbf{1})$				m_i
2	$(\mathbf{-})$				τ_i^-
3	$(\mathbf{0})$				τ_i^+
4	$(\mathbf{3})$				v_i
20	$(\mathbf{1}, \mathbf{1}, \mathbf{-})$				s_i^-
2	$(\mathbf{1}, \mathbf{1}; \mathbf{8}, \mathbf{1})$				f_i
$\mathcal{G}_{4D} \longrightarrow \mathcal{G}_{SM} \times \mathbb{Z}_2^{\text{Materia}} \times [\text{SO}(8)]$					
$M X \overline{X} \equiv \langle s \rangle^n \langle h \rangle^m \langle \chi \rangle^r X \overline{X}$					

Lebedev, Rinaldi, Raby, S.R-S., Ratz, Vaudrevange, Wingerter (2007)

Minilandscape: un Ejemplo

3 familias (número neto)					
3	$(\mathbf{3}, \mathbf{2}; \mathbf{1}, \mathbf{1})_{(1/6, 1/3)}$	q_i			
3	$(\bar{\mathbf{3}}, \mathbf{1}; \mathbf{1}, \mathbf{1})_{(-2/3, -1/3)}$	\bar{u}_i			
3	$(\mathbf{1}, \mathbf{1}; \mathbf{1}, \mathbf{1})_{(1, 1)}$	\bar{e}_i			
3+1	$(\bar{\mathbf{3}}, \mathbf{1}; \mathbf{1}, \mathbf{1})_{(1/3, -1/3)}$	\bar{d}_i	1	$(\mathbf{3}, \mathbf{1}; \mathbf{1}, \mathbf{1})_{(-1/3, 1/3)}$	d_i
3+1	$(\mathbf{1}, \mathbf{2}; \mathbf{1}, \mathbf{1})_{(-1/2, -1)}$	ℓ_i	1	$(\mathbf{1}, \mathbf{2}; \mathbf{1}, \mathbf{1})_{(1/2, 1)}$	$\bar{\ell}_i$
Higgses					
1	$(\mathbf{1}, \mathbf{2}; \mathbf{1}, \mathbf{1})_{(-1/2, 0)}$	h_d	1	$(\mathbf{1}, \mathbf{2}; \mathbf{1}, \mathbf{1})_{(1/2, 0)}$	h_u
Singuletes del SM					
2	$(\mathbf{1}, \mathbf{1}; \mathbf{1}, \mathbf{1})_{(0, \pm 2)}$	χ_i	18	$(\mathbf{1}, \mathbf{1}; \mathbf{1}, \mathbf{1})_{(0, 0)}$	s_i^0
20	$(\mathbf{1}, \mathbf{1}; \mathbf{1}, \mathbf{2})_{(0, 0)}$	h_i	5	$(\mathbf{1}, \mathbf{1}; \mathbf{8}, \mathbf{1})_{(0, 0)}$	w_i
15	$(\mathbf{1}, \mathbf{1}; \mathbf{1}, \mathbf{1})_{(0, 1)}$			$(\mathbf{1}, \mathbf{1}; \mathbf{1}, \mathbf{1})_{(0, -1)}$	n_i
3	$(\mathbf{1}, \mathbf{1}; \mathbf{1}, \mathbf{2})$				η_i
$\langle \chi \rangle, \langle h \rangle, \langle s \rangle \sim \mathcal{O}(M_{Pl}) + \text{inter. de cuerdas}$ \Downarrow					
2	$(\mathbf{1})$				m_i
2	$(\mathbf{-1})$				r_i^-
3	$(\mathbf{0})$				r_i^+
4	$(\mathbf{3})$				v_i
20	$(\mathbf{1}, \mathbf{1}, \mathbf{1})$				s_i^-
2	$(\mathbf{1}, \mathbf{1}; \mathbf{8}, \mathbf{1})$				f_i

$\mathcal{G}_{4D} \longrightarrow \mathcal{G}_{SM} \times \mathbb{Z}_2^{\text{Materia}} \times [\text{SO}(8)]$
&
 $M \ X \ X \equiv \langle s \rangle^n \langle h \rangle^m \langle \chi \rangle^r X \bar{X}$

Lebedev, Rinaldi, Raby, S.R-S., Ratz, Vaudrevange, Wingerter (2007)

Minilandscape: un Ejemplo

3 familias (número neto)					
3	$(\mathbf{3}, \mathbf{2}; \mathbf{1}, \mathbf{1})_{(1/6, 1/3)}$	q_i			
3	$(\bar{\mathbf{3}}, \mathbf{1}; \mathbf{1}, \mathbf{1})_{(-2/3, -1/3)}$	\bar{u}_i			
3	$(\mathbf{1}, \mathbf{1}; \mathbf{1}, \mathbf{1})_{(1, 1)}$	\bar{e}_i			
3+1	$(\bar{\mathbf{3}}, \mathbf{1}; \mathbf{1}, \mathbf{1})_{(1/3, -1/3)}$	\bar{d}_i	1	$(\mathbf{3}, \mathbf{1}; \mathbf{1}, \mathbf{1})_{(-1/3, 1/3)}$	d_i
3+1	$(\mathbf{1}, \mathbf{2}; \mathbf{1}, \mathbf{1})_{(-1/2, -1)}$	ℓ_i	1	$(\mathbf{1}, \mathbf{2}; \mathbf{1}, \mathbf{1})_{(1/2, 1)}$	$\bar{\ell}_i$
Higgses					
1	$(\mathbf{1}, \mathbf{2}; \mathbf{1}, \mathbf{1})_{(-1/2, 0)}$	h_d	1	$(\mathbf{1}, \mathbf{2}; \mathbf{1}, \mathbf{1})_{(1/2, 0)}$	h_u
Singuletes del SM					
2	$(\mathbf{1}, \mathbf{1}; \mathbf{1}, \mathbf{1})_{(0, \pm 2)}$	χ_i^0	18	$(\mathbf{1}, \mathbf{1}; \mathbf{1}, \mathbf{1})_{(0, 0)}$	s_i^0
20	$(\mathbf{1}, \mathbf{1}; \mathbf{1}, \mathbf{2})_{(0, 0)}$	h_i	5	$(\mathbf{1}, \mathbf{1}; \mathbf{8}, \mathbf{1})_{(0, 0)}$	w_i
15	$(\mathbf{1}, \mathbf{1}; \mathbf{1}, \mathbf{1})_{(0, 1)}$	\bar{n}_i	12	$(\mathbf{1}, \mathbf{1}; \mathbf{1}, \mathbf{1})_{(0, -1)}$	n_i
3	$(\mathbf{1}, \mathbf{1}; \mathbf{1}, \mathbf{2})_{(0, 1)}$	$\bar{\eta}_i$	3	$(\mathbf{1}, \mathbf{1}; \mathbf{1}, \mathbf{2})_{(0, -1)}$	η_i
2	$(\mathbf{1}, \mathbf{2}; \mathbf{1}, \mathbf{2})$	Muchos neutrinos "derechos"			m_i
2	$(\mathbf{1}, \mathbf{1}; \mathbf{1}, \mathbf{1})$	ν			x_i^-
3	$(\bar{\mathbf{3}}, \mathbf{1}; \mathbf{1}, \mathbf{1})_{(1/3, 0)}$	$\text{con } q_{B-L} = \pm 1$			δ_i
4	$(\bar{\mathbf{3}}, \mathbf{1}; \mathbf{1}, \mathbf{1})_{(-1/6, *)}$	ν_i		$(\mathbf{3}, \mathbf{1}; \mathbf{1}, \mathbf{1})_{(1/6, *)}$	v_i
20	$(\mathbf{1}, \mathbf{1}; \mathbf{1}, \mathbf{1})_{(1/2, *)}$	s_i^+	20	$(\mathbf{1}, \mathbf{1}; \mathbf{1}, \mathbf{1})_{(-1/2, *)}$	s_i^-
2	$(\mathbf{1}, \mathbf{1}; \mathbf{8}, \mathbf{1})_{(0, -1/2)}$	f_i	2	$(\mathbf{1}, \mathbf{1}; \mathbf{8}, \mathbf{1})_{(0, 1/2)}$	\bar{f}_i

Lebedev, Nilles, Raby, S.R-S., Ratz, Vaudrevange, Wingerter (2007)

see-saw



see-saw en el ML

- En SO(10) GUT: $\bar{\nu} \in \mathbf{16}$
 $\bar{\nu} : (\mathbf{1}, \mathbf{1})_{0, +1}$ de $\mathcal{G}_{SM} \times \text{U}(1)_{B-L} \subset \text{SO}(10)$

- En SO(10) GUT: $\bar{\nu} \in \mathbf{16}$
 $\bar{\nu} : (\mathbf{1}, \mathbf{1})_{0,+1}$ de $\mathcal{G}_{SM} \times \text{U}(1)_{B-L} \subset \text{SO}(10)$
- B-L identificada al restringir:
 - ① $q_{B-L}(\text{SM}) \stackrel{!}{=} \text{est\'andar}$
 - ② materia $\stackrel{!}{=} 3$ gen. con grupo $\mathcal{G}_{SM} \times \text{U}(1)_{B-L}$

see-saw en el ML

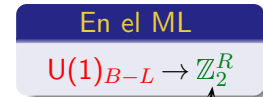
- En SO(10) GUT: $\bar{\nu} \in \mathbf{16}$
 $\bar{\nu} : (\mathbf{1}, \mathbf{1})_{0,+1}$ de $\mathcal{G}_{SM} \times \text{U}(1)_{B-L} \subset \text{SO}(10)$
- $B-L$ identificada al restringir:
 - ➊ $q_{B-L}(\text{SM}) \stackrel{!}{=} \text{est\'andar}$
 - ➋ materia $\stackrel{!}{=} 3$ gen. con grupo $\mathcal{G}_{SM} \times \text{U}(1)_{B-L}$
- Romper $B-L$ espont. $\langle s \rangle \neq 0$ con $3q_{B-L}(s) = 2n \Rightarrow \mathbb{Z}_2^R$
Lebedev, Nilles, Raby, R-S., Ratz, Vaudrevange, Wingerter (2006)

see-saw en el ML

- En SO(10) GUT: $\bar{\nu} \in \mathbf{16}$
 $\bar{\nu} : (\mathbf{1}, \mathbf{1})_{0,+1}$ de $\mathcal{G}_{SM} \times \text{U}(1)_{B-L} \subset \text{SO}(10)$
- $B-L$ identificada al restringir:
 - ① $q_{B-L} \stackrel{!}{=} \text{est\'andar}$
 - ② materia $\stackrel{!}{=} 3$ gen. con grupo $\mathcal{G}_{SM} \times \text{U}(1)_{B-L}$

Lebedev, Nilles, Raby, R-S., Ratz, Vaudrevange, Wingerter (2006)

- $\langle s_{q_{B-L}=\pm 2} \rangle \neq 0 \quad \Rightarrow$



“Paridad de materia”
 $(-1)^{3q_{B-L}}$

see-saw en el ML

- En SO(10) GUT: $\bar{\nu} \in \mathbf{16}$
 $\bar{\nu} : (\mathbf{1}, \mathbf{1})_{0,+1}$ de $\mathcal{G}_{SM} \times \text{U}(1)_{B-L} \subset \text{SO}(10)$
- $B-L$ identificada al restringir:
 - ① $q_{B-L}(\text{SM}) \stackrel{!}{=} \text{est\'andar}$
 - ② materia $\stackrel{!}{=} 3$ gen. con grupo $\mathcal{G}_{SM} \times \text{U}(1)_{B-L}$

Lebedev, Nilles, Raby, R-S., Ratz, Vaudrevange, Wingerter (2006)

- $\langle s_{q_{B-L}=\pm 2} \rangle \neq 0 \Rightarrow$

En el ML

$$\text{U}(1)_{B-L} \rightarrow \mathbb{Z}_2^R$$
- $\bar{\nu}$: singuletes SM con $q_{B-L} = \pm 1$ *hay muchos*

see-saw en el ML

- En SO(10) GUT: $\bar{\nu} \in \mathbf{16}$
 $\bar{\nu} : (\mathbf{1}, \mathbf{1})_{0,+1}$ de $\mathcal{G}_{SM} \times \text{U}(1)_{B-L} \subset \text{SO}(10)$
- $B-L$ identificada al restringir:
 - ① $q_{B-L}(\text{SM}) \stackrel{!}{=} \text{est\'andar}$
 - ② materia $\stackrel{!}{=} 3$ gen. con grupo $\mathcal{G}_{SM} \times \text{U}(1)_{B-L}$

Lebedev, Nilles, Raby, R-S., Ratz, Vaudrevange, Wingerter (2006)

- $\langle s_{q_{B-L}=\pm 2} \rangle \neq 0 \Rightarrow$

En el ML
 $\text{U}(1)_{B-L} \rightarrow \mathbb{Z}_2^R$
- $\bar{\nu}$: singuletes SM con $q_{B-L} = \pm 1$ *hay muchos*
- Acoplamientos de Yukawa nacen de la teoría !

$\overline{126}, 210, \dots$ no necesarias!

masas de Majorana: $\bar{\nu} \bar{\nu}$ (singuletes)

Ejemplo

En un modelo específico

$$21 \bar{\nu}^{+1} + 18 \bar{\nu}^{-1}$$

$$W_{\text{see-saw}} = M^{ij} \bar{\nu}_i \bar{\nu}_j + Y_\nu^{ij} \phi_u \ell_i \bar{\nu}_j$$

Ejemplo

En un modelo específico

$$21 \bar{\nu}^{+1} + 18 \bar{\nu}^{-1}$$

$$W_{\text{see-saw}} = M^{ij} \bar{\nu}_i \bar{\nu}_j + Y_\nu^{ij} \phi_u \ell_i \bar{\nu}_j$$

- $m_{\nu_L} \sim v^2 Y_\nu M^{-1} Y_\nu^T$

$$\sim \frac{v^2}{M_{\text{see-saw}}} \begin{pmatrix} 1 & s & s \\ s & s^2 & s^2 \\ s & s^2 & s^2 \end{pmatrix}$$

$s = \mathcal{O}(0.1)$

$$M_{\text{see-saw}} \sim 0.1 s^5 M_S \sim 10^{14} \text{GeV}$$
$$\Rightarrow m_{\nu_L} \sim 0.1 \text{eV} \checkmark$$

Comparar con $m_{\nu_L} \approx 10^{-3}$ de GUT SO(10) y $\sqrt{\Delta m_{atm}^2} \sim 0.04 \text{eV}$

Ejemplo

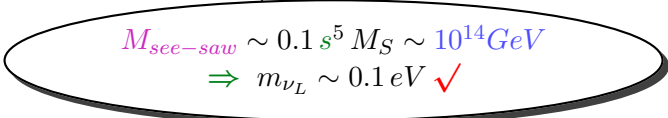
En un modelo específico

$$21 \bar{\nu}^{+1} + 18 \bar{\nu}^{-1}$$

$$W_{\text{see-saw}} = M^{ij} \bar{\nu}_i \bar{\nu}_j + Y_\nu^{ij} \phi_u \ell_i \bar{\nu}_j$$

- $m_{\nu_L} \sim v^2 Y_\nu M^{-1} Y_\nu^T$

$$\sim \frac{v^2}{M_{\text{see-saw}}} \begin{pmatrix} 1 & s & s \\ s & s^2 & s^2 \\ s & s^2 & s^2 \end{pmatrix}$$


$$M_{\text{see-saw}} \sim 0.1 s^5 M_S \sim 10^{14} \text{GeV}$$
$$\Rightarrow m_{\nu_L} \sim 0.1 \text{eV} \checkmark$$

Comparar con $m_{\nu_L} \approx 10^{-3}$ de GUT SO(10) y $\sqrt{\Delta m_{atm}^2} \sim 0.04 \text{eV}$

- aumentada $m_{\nu_L} \propto \#\bar{\nu} \sim \mathcal{O}(50)$

Otras texturas en un ejemplo

Acoplamientos de Yukawa pueden ser calculados explícitamente:

$$Y_u = \begin{pmatrix} 0 & 0 & s^8 \\ 0 & 0 & s^8 \\ s^5 & s^5 & 1 \end{pmatrix}$$

$$Y_d = \begin{pmatrix} 1 & s^3 & 0 \\ 1 & s^3 & 0 \\ s & s^4 & s^6 \end{pmatrix}$$

$$Y_e = \begin{pmatrix} 1 & 1 & s \\ s & s & s^2 \\ 0 & 0 & s^6 \end{pmatrix}$$

No viables exp., pero es un inicio!

La moraleja...

- fenomenología de cuerdas se acerca (lentamente) a preguntas interesantes 😊
- primeros modelos con propiedades prometedoras (MSSM y NMSSM) 😊
- simetría $\mathbb{Z}_2^R \rightarrow$ protón estable, seesaw, LSP,... 😊
- acoplamientos calculables 😊
- simetrías R + ... provienen de cuerdas (no *ad hoc*) 😊

Lo que falta...

- parámetros “libres” → moduli stabilization (en proceso)
- explicación vacío de Sitter (en proceso)
- inflación (en proceso)
- simetrías de sabor (en proceso)
- singularidades en espacio compacto → inconsistencias grav.??

⋮

- predicciones para el LHC

El NMSSM

Por qué el NMSSM ?

- El problema μ

$$\mu H_u H_d \subset W$$

$$\lambda S H_u H_d \subset W_{\text{NMSSM}} \quad \rightarrow \quad \mu = \lambda \langle S \rangle$$

Por qué el NMSSM ?

- El problema μ

$$\mu H_u H_d \subset W$$

$$\lambda S H_u H_d \subset W_{\text{NMSSM}} \quad \rightarrow \quad \mu = \lambda \langle S \rangle$$

- El problema de fine-tuning / pequeña jerarquía:

Predicción SUSY (tree level) $m_h \leq m_Z$ vs. límite LEP

(MS)SM $m_h > 114 \text{ GeV}$ $\rightarrow \tilde{q}$ muy masivos

gran fine-tuning ☹

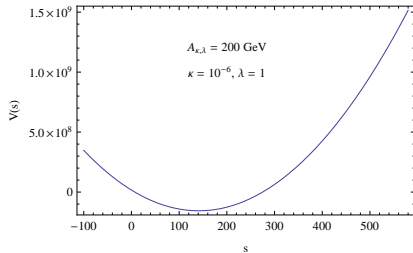
NMSSM $m_h > 90 \text{ GeV}$ $\rightarrow \tilde{q}$ "ligeros"

poco / cero fine-tuning ☺

MSSM + singulete $\textcolor{blue}{S}$, tal que

$$W = W_{MSSM} + \lambda \textcolor{blue}{S} H_u H_d + \frac{1}{3} \kappa \textcolor{blue}{S}^3$$

E.g. en el límite PQ (ligeramente) roto ($\kappa \ll 1$)



$$\rightarrow \mu = \lambda \langle s \rangle \gtrsim 100 \text{ GeV}$$

NMSSM: el límite PQ

La simetría $U(1)_{PQ}$

$$W_{NMSSM} = \lambda S H_u H_d \quad \Rightarrow \quad H_{u,d} \rightarrow e^{i\alpha} H_{u,d}, \quad S \rightarrow e^{-2i\alpha} S$$

El rompimiento espontaneo de $U(1)_{PQ} \rightarrow$ escalar CP-impar:

$$\rightarrow \quad a_{PQ} = \sin 2\beta (a \operatorname{Im} H_u + b \operatorname{Im} H_d) + c \operatorname{Im} S$$

Más importante

$$Br(h \rightarrow 2 a_{PQ}) \gg Br(h \rightarrow b\bar{b})$$

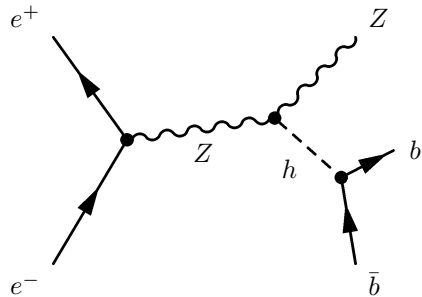
Dobrescu, Landsberg, Matchev (2001)

LEP menos sensible a $h \rightarrow 2 a_{PQ}$

⇒ límite se reduce: $m_h > 90 \text{ GeV } \checkmark$

NMSSM: el límite PQ

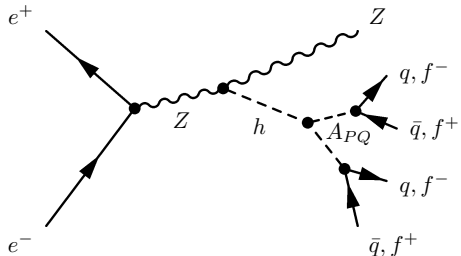
En el (MS)SM:



Límite LEP: $m_h > 114 \text{ GeV}$

NMSSM: el límite PQ

En el NMSSM:



Límite LEP: $m_h > 105 \text{ GeV}$ para τ 's

$m_h > 90 \text{ GeV}$ para quarks ligeros

En órbifolds heteróticos

- SM singulete S sin masa
 - $\lambda S H_u H_d$, con $\lambda \sim \mathcal{O}(1)$
 - término μ “normal” altamente suprimido
 - S cargado bajo otros grupos (“ocultos”)
- $\Rightarrow \lambda = 1 + \mathcal{O}(0.1)^n \sim \mathcal{O}(1), \quad \kappa = \mathcal{O}(0.1)^m \ll 1$

NMSSMs heteróticos en el ML

En órbifolds heteróticos

- SM singulete S sin masa
 - $\lambda S H_u H_d$, con $\lambda \sim \mathcal{O}(1)$
 - término μ “normal” altamente suprimido
 - S cargado bajo otros grupos (“ocultos”)
- $\Rightarrow \lambda = 1 + \mathcal{O}(0.1)^n \sim \mathcal{O}(1), \quad \kappa = \mathcal{O}(0.1)^m \ll 1$

En ML, típicamente límite PQ

$\langle s \rangle \sim \mathcal{O}(0.1)$ fijo demandando $D = 0$
 $\lambda \sim 1, \quad \kappa \sim 10^{-6} \rightarrow$ límite con $m_{a_{PQ}} \sim 10^2$ MeV – GeV ☺

- resuelve el problema de fine-tuning & problema μ en el ML
- evade/se ajusta a límite de LEP